

○ 京都大学防災研究所 正員 宇民 正

上野 錄男

1. 研究の目的

平滑な固定床をもつ一様な開水路において、その横断方向に一定の高さの障害物を設けた場合、水路側面近傍を除けば幾何学的な境界条件はいわばなく二次元的である。それにもかかわらず、障害物周辺の流れは三次元的な特性を示すことが認められる。¹⁾ 本報告の目的は、このような二次元的な幾何学的境界条件下で発生する流れの三次元的な特性を明らかにすることにある。

実験は、まずこのような特性をもつ流れの基本的なパターンを把握しようとする立場から、低レイルズ数の下でさらに水深およびそれに対する段上り(潜り坂)の高さの比を比較的大きくした条件の下で行なった。低レイルズ数としたのは、このような流れの三次元的な特性は低周波数領域の乱れ特性に基づくものと考えたためであり、同時に低レイルズ数の下では水素気泡法による流れパターンの把握が比較的容易であるからである。段上りおよび水深を大きくしたのと、三次元的な流れの発生スケールを大きくしてその現象把握を容易にしようとしたためである。

2. 実験条件および方法

水中に若干のグリセリンを混入して動粘性係数を 0.0127 poise (25.5°C) とし、かつ接近流も図-1の実線で示されるような低流速にて実験を行なった。実験水路は幅 20 cm で勾配は $1/500$ に設定されており、その $1/13$ 中程に高さ 5 cm の段上り(潜り坂板)を設けた。水路の下流端を北上げたため、段上り部付近での水深は 8.3 cm で一定である。実測は段上り部前方の流れにに関して、水素気泡法を用いて行なわれた。すなまち、白金線の陰極を段上り部の直前方およびそれより約 15 cm 上流側にそれぞれ水路横断方向かつ同一の高さに張り、そこから流下する水素気泡列が描く絞様を水路の下から写真撮影した。写真1はその一例で、白金線は段上り部より上流側 1.5 cm より 15 cm で水路床からの高さ 2 cm の位置に設置されている。

3. 三次元的な流れの発生機構

先に示した写真撮影結果をはじめとする一連の実測から次のことが明らかになった。すなまち、

① 段上り部の直前方には図-2に示されたよひ字型の軸をもつ渦がいくつか連なっている。この渦軸の位置は水路横断方向にゆっくり変動しており、しかもこの渦にまきこまれた流体は渦軸のまわりの回転運動と同時に渦軸に沿った方向の流速成分をもって段上り部を越える位置に導かれている。

② 水路横断面内の接近流速分布は水平方向に一様ではなく、いくつかのくびれた部分を有している。このようなくびれは段上り部を設けたために発生したものではなく、主流の中に既に存在していたものと考えられる。実際、図-1に示されている接近流速分布は、段上り部を除去し一様流れの条件下で実測された結果を示したものであろうが、その状態の下でも同様なくびれが認められた。すなまち、くびれてない部分の平均的な流速分布は図-1の実線のようになるが、くびれ

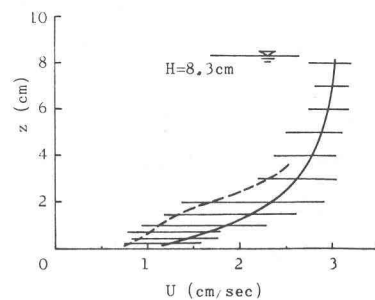


図-1 接近流の流速分布

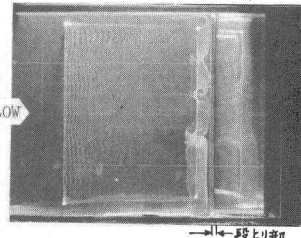


写真-1 水素気泡法による流れパターン実測例

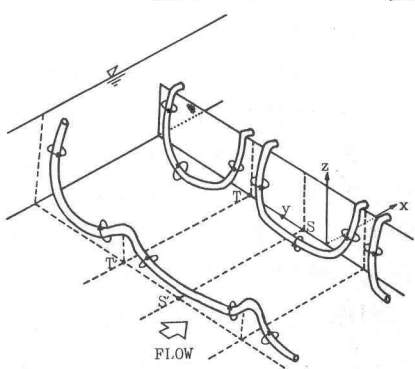


図-2 三次元的な流れの発生機構の概念図

た部分での流速分布はたとえば図-1の破線のようになる。

③ 段上り部の直前方のU字型渦軸が立っている位置(図-2ではTで示されている)は、接近流の流速分布がくびれしている位置と対応していることが一連の写真から認められた。すなわち两者共に時間の経過とともに水路横断方向に変動しているから、それらは互に对应して変動していることが認められた。

④ 図-1中水平方向に引かれた線方は、接近流速分布中のくびれの位置の変動にともなう接近流速の変動範囲を示しているが、この図から接近流中のくびれは水路床面から2cmまでの高さで顕著に現われることが認められる。

⑤ 接近流中に含まれる渦度 ζ の水路横断面内の重心の高さ $z_g = \int z \zeta dz / \int \zeta dz$ は、接近流がくびれしている位置で若干高い位置になり、その状態は図-2のように概念的に示される。

⑥ 以上より実測結果および考察をまとめると、段上り部直上流の横方向に連続した若干のU字型渦運動で特徴づけられる3次元的な流況は、接近流中に既に含まれている一定の分布特性をもつ渦度の変形過程と考え方である。

4. U字型渦 内部機構

段上り部直前方のU字型渦の特性は、図-2のTT'を通る鉛直面とSS'を通る鉛直面との間に含まれる流れの場の部分を1つの単位として変化していると考えてよろしいであろう。もちろんこれら2つの面の位置は時間的に変動しているが、各面内およびその近傍の流況はたとえば図-4に示されるようにありあまり変化しないのである。

そこで、まさにこれら2つの面に挟まれた領域内の流れの概略的なパターンを明らかにする。すなわち、図-5は単位領域の境界面(TT'を通る鉛直面、段上り部の前面、水路床面)における流線パターンを示したものであり、PおよびRの位置に結節点、Qの位置に巻き形点が生じることがわかる。以上の実測およびそれに付随する考察に基づいて、単位領域内の3次元的な流線パターンの概念図を示すと図-6のようであると考えられる。本図は、段上り部の直前方の渦運動の領域ではなく、渦を構成する流体は主流のうち水路床近傍の部分から供給されているという興味ある現象を示している。さらにこのよな現象が橋脚前方の馬蹄型渦と類似していることが指摘され、このことから、段上り部前方の渦運動も主流中に含まれていた渦度が集中させられた結果発生するかと推察される。

参考文献 1) 上野鉄男: 波状路床上の流れの路床近傍の流況特性について、土木学会年譲 II-149, pp.326-327, 1974.

2) 宇民正: 层流実験に基づく橋脚前面の局所流れ研究、土木学会論文報告集, 第228号, pp.65-76, 1974.

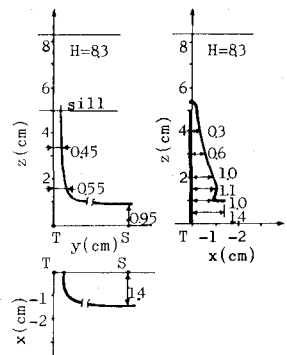


図-3 涡軸の位置の立面図および平面図

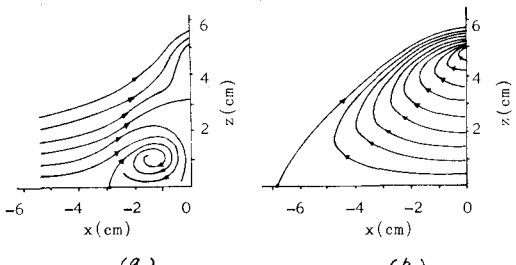


図-4 (a) SS' を通る鉛直面および(b) TT' を通る鉛直面内の流線のパターン

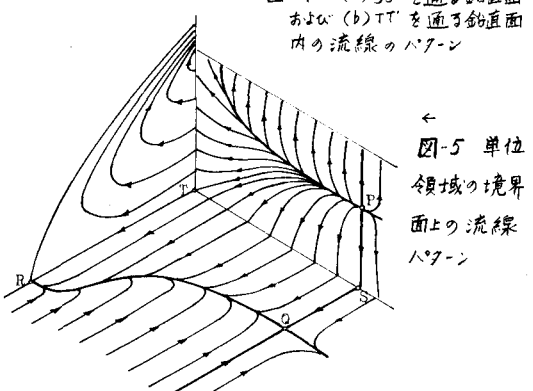


図-5 単位領域の境界面上の流線パターン

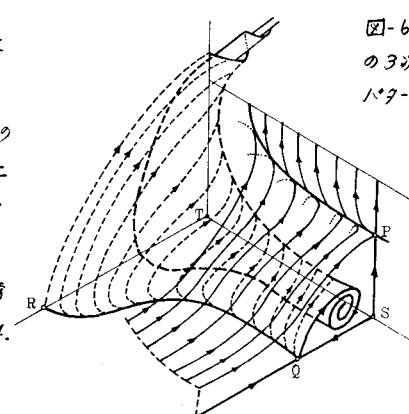


図-6 単位領域内の3次元的な流線パターン概念図